

03

Спин-зависимое внутри- и междолинное электрон-фононное рассеяние в германии

© Z. Liu¹, M.O. Nestoklon², J.L. Cheng³, Е.Л. Ивченко², M.W. Wu¹

¹Hefei National Laboratory for Physical Sciences at Microscale and Department of Physics, University of Science and Technology of China, Hefei, Anhui, China

²Физико-технический институт им. А.Ф. Иоффе РАН, Санкт-Петербург, Россия

³Department of Physics and Institute for Optical Sciences, University of Toronto, Toronto, Ontario, Canada

E-mail: nestoklon@coherent.ioffe.ru, mwwu@ustc.edu.cn

(Поступила в Редакцию 31 января 2013 г.)

Теоретически исследовано спин-зависимое электрон-фононное рассеяние в долинах L и Γ в кристаллах германия. С этой целью построен $\mathbf{k} \cdot \mathbf{p}$ -гамильтониан 16×16 , корректно описывающий электронную дисперсию в окрестности L -точки германия в нижних зонах проводимости и верхних валентных зонах. Этот гамильтониан упрощает анализ спин-зависимых свойств электронов проводимости. Затем последовательно рассматривается рассеяние электронов на фононах внутри долин L и Γ , между долинами L и Γ и между различными долинами L . На основе метода инвариантов для каждого типа процессов строится матрица рассеяния, разложенная по степеням волновых векторов электрона, отсчитанных от центров долин. С помощью метода псевдопотенциала найдены численные коэффициенты в этих матрицах. Проанализированы парциальные вклады механизмов Эллиота и Яфета в спин-зависимое рассеяние электронов. Полученные результаты могут быть использованы для изучения оптической ориентации и релаксации горячих электронов в германии.

Работа поддержана программами РАН, грантами РФФИ и Президента РФ, Национальной программой фундаментальных исследований Китая в рамках гранта № 2012CB922002 и Исследовательской программой приоритетных стратегических исследований Китайской академии наук в рамках гранта № XDB01000000.

1. Введение

В настоящее время объемные материалы четвертой группы привлекают внимание в качестве многообещающих кандидатов для применений в устройствах спинтроники [1–21]. Механизм спиновой релаксации Дьяконова–Переля в этих материалах отсутствует из-за наличия у них центра пространственной инверсии, а сверхтонкое взаимодействие может быть подавлено путем изотопной очистки, что гарантирует относительно длинные времена спиновой релаксации [1,4,11,13,22–26]. То, что технология микропроизводства кремниевых приборов хорошо разработана и широко используется [4], дает существенное преимущество. Германий, будучи соседом кремния по IV группе, также характеризуется длительным временем сохранения спиновой когерентности и полностью совместим с развитой кремниевой микро- и нанoeлектроникой [3,11,13,17]. Однако в отличие от кремния в деформированном германии проявляется ярко выраженный электрооптический эффект, так как ширины его прямой (Γ – Γ) и непрямой (Γ – L) запрещенных зон близки и лежат в инфракрасном диапазоне [12–20,27,28]. Таким образом, оптическая ориентация носителей, свободная от интерфейсных эффектов и влияния внешнего электрического поля, может быть эффективной в устройствах на основе германия [12,13,17,29]. Кроме того, большие по сравнению с кремнием длины спиновой

диффузии из-за большей подвижности носителей тока помогают инжекции спина в Ge, а относительно сильное спин-орбитальное взаимодействие помогает в управлении спином [11,13,15,17,18]. Поэтому в последнее время вновь возрос интерес к германию как у экспериментаторов, так и у теоретиков. Лоре и др. [11,13] и Пеццолли и др. [17] экспериментально продемонстрировали оптическую инжекцию и детектирование поляризованных электронов и дырок в объемном германии и квантовых ямах, выращенных на основе германия. При этом электроны накачивались оптически в центр зоны Бриллюэна (Γ -долина) и быстро релаксировали по энергии в L -долины. Теоретически существенный прогресс был достигнут в понимании деталей структуры зоны проводимости и спин-зависимого электрон-фононного рассеяния [12,14,16,19]. В частности, с помощью метода инвариантов был построен компактный $\mathbf{k} \cdot \mathbf{p}$ -гамильтониан размерности 10×10 , применимый в окрестности точки L [19,30–32]. Танг и др. [16] вывели правила отбора для электрон-фононного рассеяния в пределах одной L -долины и рассеяния между L -долинами и в методе сильной связи рассчитали соответствующие матричные элементы рассеяния. Ли и др. [19] получили матрицы рассеяния для переходов между L -долинами и акустического вклада во внутридолинное рассеяние в долине L . Для нахождения приближенной зависимости матрицы внутридолинного рассеяния от волново-

го вектора они использовали комбинацию $\mathbf{k} \cdot \mathbf{p}$ -метода, метода псевдопотенциала и теории групп [33]. Недавно Ли и др. [20] также представили правила отбора для Γ - L электрон-фононного рассеяния в зоне проводимости и рассчитали непрямые оптические переходы в германии с участием фононов. Тем не менее, насколько нам известно, для нескольких важных каналов электрон-фононного рассеяния матрицы рассеяния пока не проанализированы, например для рассеяния внутри Γ -долины и рассеяния в долине L и между долинами Γ и L с участием оптических фононов. Анализ этих механизмов рассеяния необходим для понимания спиновой динамики при оптической ориентации электронов в германии [11–13,17,20].

В настоящей работе мы совершенствуем описание зонной структуры германия вблизи минимумов зоны проводимости и изучаем рассеяние электронов на фононах в Γ - и L -долинах. Вначале получим спин-зависимый $\mathbf{k} \cdot \mathbf{p}$ -гамильтониан размерности 16×16 в окрестности L -точки из орбитальных базисных функций в этой точке [3,32]. Параметры гамильтониана: диагональные энергии, недиагональные матричные элементы спин-орбитального взаимодействия и оператора импульса — определяются из сравнения электронной дисперсии, найденной с использованием этого гамильтониана, с результатами расчета методом сильной связи $sp^3d^5s^*$. По сравнению с [19], где эффективные массы электронов считались заданными параметрами, мы стартуем с массы свободного электрона и получаем перенормировку масс из гамильтониана по теории возмущений. Таким образом получается зонная структура с тремя нижними зонами проводимости и двумя верхними валентными зонами. Найденные собственные состояния используются далее для количественного описания спиновых свойств электронов проводимости.

Как известно, матричные элементы междолинного рассеяния между точками экстремума \mathbf{k}_0 и \mathbf{k}'_0 можно найти, используя метод подгруппы [16,34–37]. Для нахождения их зависимости от начального ($\mathbf{\kappa} = \mathbf{k} - \mathbf{k}_0$) и конечного ($\mathbf{\kappa}' = \mathbf{k}' - \mathbf{k}'_0$) волновых векторов, отсчитанных от точек экстремума, предложены два альтернативных подхода [19,33,38,39]. В одном подходе начальное и конечное состояния электрона выражены в виде линейных комбинаций базисных функций $\mathbf{k} \cdot \mathbf{p}$ -метода, разложенных по степеням $\mathbf{\kappa}$ и $\mathbf{\kappa}'$, вводится линейризованный по колебаниям решетки микроскопический оператор электрон-фононного взаимодействия, матричные элементы рассеяния рассчитываются численно. В другом подходе, методе инвариантов, используется свойство инвариантности электрон-фононного взаимодействия относительно преобразований симметрии соответствующей пространственной группы [31,32]. Матричные элементы рассеяния записываются в виде матрицы размерности 2×2 , получаемой из скалярных произведений псевдовектора с тремя компонентами в виде спиновых матриц Паули на псевдовекторы, линейные по амплитудам фононных колебаний и разложенные по степеням волновых

векторов $\mathbf{\kappa}$ и $\mathbf{\kappa}'$. Коэффициенты при этих произведениях должны быть получены из сравнения с численными методами, такими как метод псевдопотенциала или сильной связи [30–32,38,39]. Очевидно, первый подход очень чувствителен к выбору собственных состояний в $\mathbf{k} \cdot \mathbf{p}$ -методе, а второй не ограничен конкретным видом $\mathbf{k} \cdot \mathbf{p}$ -гамильтониана. Поэтому мы воспользуемся методом инвариантов и будем определять коэффициенты при инвариантах подгонкой к результатам нашего расчета методом псевдопотенциала.

Используя метод инвариантов, построим матрицы рассеяния и исследуем внутри- и междолинное рассеяние при учете состояний как в окрестности Γ -точки, так и в четырех L -долинах. При этом будут получены разложенные по степеням волнового вектора выражения для матричных элементов Γ - Γ , L - L и Γ - L рассеяния на поперечных и продольных акустических фононах, а также на оптических фононах. В связи с этим сразу заметим, что вклад нулевого порядка в рассеяние с переворотом спина отличен от нуля в междолинных переходах, но отсутствует во внутримолиновых переходах. Затем исходя из используемых нами $\mathbf{k} \cdot \mathbf{p}$ -гамильтониана в L -точке и четырнадцатизонного $\mathbf{k} \cdot \mathbf{p}$ -гамильтониана в Γ -точке проанализируем по отдельности механизмы Эллиота [40] и Яфета [34] для таких процессов электрон-фононного рассеяния [41]. В каждом из рассмотренных случаев наши расчеты методом псевдопотенциала подтверждают полученные правила отбора и аналитическую зависимость матриц рассеяния от волнового вектора.

2. $\mathbf{k} \cdot \mathbf{p}$ -гамильтониан

Начнем с построения спин-зависимого $\mathbf{k} \cdot \mathbf{p}$ -гамильтониана для описания электронных состояний вблизи минимума зоны проводимости германия в одной из четырех L -точек: $(\pi/a)(1, 1, 1)$, $(\pi/a)(-1, -1, 1)$, $(\pi/a)(-1, 1, 1)$ и $(\pi/a)(1, -1, 1)$, где a — постоянная решетки, равная 5.66 Å [3]. В каждой точке симметрия блоховских состояний описывается двойной группой D_{3d} с шестью неприводимыми представлениями L_4^+ , L_5^+ , L_6^+ , L_4^- , L_5^- и L_6^- [3,30,42].

Проведем рассмотрение для окрестности точки $(\pi/a)(1, 1, 1)$; состояния в окрестности трех других точек получаются преобразованием симметрии, переводящим одну долину в другую. Для удобства выберем систему координат x, y, z с направлением оси z вдоль оси симметрии [111], так что базисные векторы $\hat{x}, \hat{y}, \hat{z}$ этой системы связаны с базисными векторами $\hat{x}_0, \hat{y}_0, \hat{z}_0$ вдоль кристаллографических направлений [100], [010] и [001] соотношениями

$$\hat{x} = (\hat{x}_0 - \hat{y}_0)/\sqrt{2}, \quad \hat{y} = (\hat{x}_0 + \hat{y}_0 - 2\hat{z}_0)/\sqrt{6},$$

$$\hat{z} = (\hat{x}_0 + \hat{y}_0 + \hat{z}_0)/\sqrt{3}.$$

Стартуя с нерелятивистских блоховских состояний L_1, L_3, L_3', L_2' в зоне проводимости и состояний L_3^v в

Таблица 1. Шестнадцать состояний в точке L : четыре в валентной зоне и двенадцать в зоне проводимости (первый столбец), примеры базисных функций для соответствующих спиновых представлений (второй столбец) и обозначения диагональных энергий, используемых в табл. 2 (третий столбец)

Зонные состояния	Базисные функции	$H_{0,jj}$
$ v1\rangle = L_4^-(L_{3'}^v)$	$\frac{1}{2}[(x-iy)\downarrow - (x+iy)\uparrow]$	E_{45v}^-
$ v2\rangle = L_5^-(L_{3'}^v)$	$\frac{1}{2}[(x-iy)\downarrow + (x+iy)\uparrow]$	E_{45v}^-
$ v3\rangle = L_{6(1)}^-(L_{3'}^v)$	$\frac{1}{\sqrt{2}}(x+iy)\downarrow \equiv L_{3'(1)}\downarrow$	E_{6v}^-
$ v4\rangle = L_{6(2)}^-(L_{3'}^v)$	$-\frac{1}{\sqrt{2}}(x-iy)\uparrow \equiv -L_{3'(2)}\uparrow$	E_{6v}^-
$ c1\rangle = L_{6(1)}^+(L_1)$	$s\uparrow$	E_{6c}^+
$ c2\rangle = L_{6(2)}^+(L_1)$	$s\downarrow$	E_{6c}^+
$ c3\rangle = L_{6(2)}^+(L_3)$	$z(x-iy)\uparrow; i(x+iy)^2\uparrow$	$E_{6c'}^+$
$ c4\rangle = L_{6(1)}^+(L_3)$	$-z(x+iy)\downarrow; i(x-iy)^2\downarrow$	$E_{6c'}^+$
$ c5\rangle = L_4^+(L_3)$	$\frac{1}{\sqrt{2}}z[(x-iy)\downarrow + (x+iy)\uparrow];$ $\frac{i}{\sqrt{2}}[-(x-iy)^2\uparrow + (x+iy)^2\downarrow]$	E_{45c}^+
$ c6\rangle = L_5^+(L_3)$	$\frac{1}{\sqrt{2}}z[(x-iy)\downarrow - (x+iy)\uparrow];$ $\frac{i}{\sqrt{2}}[(x-iy)^2\uparrow + (x+iy)^2\downarrow]$	E_{45c}^+
$ c7\rangle = L_4^-(L_{3'}^c)$	те же, что в случае $L_4^-(L_{3'}^v)$	E_{45c}^-
$ c8\rangle = L_5^-(L_{3'}^c)$	см. $L_5^-(L_{3'}^v)$	E_{45c}^-
$ c9\rangle = L_{6(1)}^-(L_{3'}^c)$	см. $L_{6(1)}^-(L_{3'}^v)$	E_{6c}^-
$ c10\rangle = L_{6(2)}^-(L_{3'}^c)$	см. $L_{6(2)}^-(L_{3'}^v)$	E_{6c}^-
$ c11\rangle = L_{6(1)}^-(L_{2'})$	$z\uparrow$	$E_{6c'}^-$
$ c12\rangle = L_{6(2)}^-(L_{2'})$	$z\downarrow$	$E_{6c'}^-$

валентной зоне, получаем 16 спиновых блоховских функций, которые перечислены в табл. 1. Именно этот набор блоховских функций в L -точке используется для построения $\mathbf{k} \cdot \mathbf{p}$ -гамильтониана и анализа электрон-фононного рассеяния. В этой же таблице для удобства приведены примеры простейших базисных функций, преобразующихся по соответствующим неприводимым спиновым представлениям. Из-за наличия в решетке германия центра пространственной инверсии базисные функции характеризуются определенной четностью, верхние индексы „+“ и „-“ указывают на четные и нечетные функции соответственно. В силу симметрии к обращению времени все зонные состояния двукратно вырождены [3].

Гамильтониан теории возмущений с учетом спин-зависимых слагаемых дается выражением [42,43]

$$\Delta H = \frac{\hbar}{4m_e^2c^2} [\nabla V_0(\mathbf{r}) \times \mathbf{p}] \cdot \boldsymbol{\sigma} + \frac{\hbar \boldsymbol{\kappa} \cdot \boldsymbol{\pi}}{m_e} + \frac{\hbar^2 \kappa^2}{2m_e}, \quad (1)$$

где $\boldsymbol{\kappa}$ — волновой вектор электрона относительно точки L , первое слагаемое описывает спин-орбитальное взаимодействие при $\boldsymbol{\kappa} = 0$, m_e — масса свободного электрона,

$V_0(\mathbf{r})$ — не зависящий от спина периодический потенциал, $\boldsymbol{\pi}$ — обобщенный оператор импульса [31,43],

$$\boldsymbol{\pi} = \mathbf{p} + \delta \boldsymbol{\pi}, \quad \delta \boldsymbol{\pi} = \frac{\hbar}{4m_e c^2} \boldsymbol{\sigma} \times \nabla V_0(\mathbf{r}). \quad (2)$$

В матричном виде релятивистский $\mathbf{k} \cdot \mathbf{p}$ -гамильтониан может быть записан в виде суммы трех слагаемых

$$H = \frac{\hbar^2 \kappa^2}{2m_e} \hat{I} + H_0 + H_{\boldsymbol{\kappa}\boldsymbol{\pi}}, \quad (3)$$

где \hat{I} — единичная матрица размерности 16×16 , H_0 — матрица гамильтониана в точке L ; $H_{\boldsymbol{\kappa}\boldsymbol{\pi}}$ — линейный по $\boldsymbol{\kappa}$ вклад, описывающий межзонное $\boldsymbol{\kappa} \cdot \boldsymbol{\pi}$ -смешивание. Диагональные компоненты H_0 представлены в третьем столбце табл. 1. Матрица H_0 имеет также недиагональные компоненты, ответственные за межзонное спин-орбитальное смешивание, которое возможно только между состояниями, преобразующимися по эквивалентным спиновым представлениям.

Десять ненулевых недиагональных компонент, которые происходят из первого слагаемого в правой части формулы (1), определяются четырьмя линейно независимыми параметрами

$$\begin{aligned} \langle v4|H_0|c12\rangle &= \langle v3|H_0|c11\rangle = \Delta_1, \\ \langle c1|H_0|c4\rangle &= \langle c2|H_0|c3\rangle = \Delta_2, \\ \langle c9|H_0|c11\rangle &= \langle c10|H_0|c12\rangle = \Delta_3, \\ \langle v4|H_0|c10\rangle &= \langle v3|H_0|c9\rangle \\ &= -\langle v2|H_0|c8\rangle = -\langle v1|H_0|c7\rangle = \Delta_4. \end{aligned} \quad (4)$$

Еще десять матричных элементов получаются операцией транспонирования. Здесь Δ_l ($l = 1, 2, 3, 4$) — вещественные зонные параметры, значения которых приведены в табл. 2.

Линейный по $\boldsymbol{\kappa}$ вклад в гамильтониан (3) может быть представлен в виде

$$H_{\boldsymbol{\kappa}\boldsymbol{\pi}} = \begin{bmatrix} H_{cc} & H_{vc}^\dagger \\ H_{vc} & 0 \end{bmatrix}, \quad (5)$$

где H_{cc} и H_{vc} — блоки 12×12 и 4×12 соответственно. Поскольку матричные элементы оператора $\boldsymbol{\kappa} \cdot \boldsymbol{\pi}$ между состояниями с одинаковой четностью обращаются в нуль, эти блоки могут быть записаны в виде

$$H_{cc} = \begin{bmatrix} 0 & H_{cc}^{+-} \\ H_{cc}^{-+} & 0 \end{bmatrix}, \quad H_{vc} = [0 \ H_{vc}^{++}], \quad (6)$$

где $H_{cc}^{+-} = (H_{cc}^{-+})^\dagger$, H_{cc}^{-+} — матрица 6×6 , составленная из матричных элементов между нечетными и четными состояниями зоны проводимости, а матрица H_{vc}^{++} составлена из матричных элементов между четырьмя состояниями в валентной зоне и шестью четными состояниями в зоне проводимости. Используя правила отбора для

матричных элементов между орбитальными состояниями L_1, L_3, L_3^c, L_2' и L_3^v , получаем для оператора $\mathbf{k} \cdot \mathbf{p}$

$$H_{cc}^{+-}(\mathbf{kp}) = \begin{pmatrix} P_6\kappa_+ & -P_6\kappa_- & Q_2\kappa_+ & -Q_2\kappa_- & 0 & P_5\kappa_z \\ P_6\kappa_+ & P_6\kappa_- & -Q_2\kappa_+ & -Q_2\kappa_- & P_5\kappa_z & 0 \\ -\sqrt{2}P_6\kappa_- & 0 & 0 & -P_5\kappa_z & -Q_2\kappa_+ & -Q_2\kappa_- \\ 0 & \sqrt{2}P_6\kappa_+ & -P_5\kappa_z & 0 & -Q_2\kappa_- & Q_2\kappa_+ \\ P_4\kappa_z & 0 & 0 & \sqrt{2}P_3\kappa_+ & P_3\kappa_- & P_3\kappa_- \\ 0 & P_4\kappa_z & -\sqrt{2}P_3\kappa_- & 0 & P_3\kappa_+ & -P_3\kappa_- \end{pmatrix}, \quad (7)$$

$$H_{vc}^{-+}(\mathbf{kp}) = \begin{pmatrix} P_2\kappa_z & 0 & -Q_1\kappa_- & Q_1\kappa_+ & P_1\kappa_+ & -P_1\kappa_- \\ 0 & P_2\kappa_z & -Q_1\kappa_- & -Q_1\kappa_+ & P_1\kappa_+ & P_1\kappa_- \\ -Q_1\kappa_+ & -Q_1\kappa_+ & -P_2\kappa_z & 0 & \sqrt{2}P_1\kappa_- & 0 \\ Q_1\kappa_- & -Q_1\kappa_- & 0 & -P_2\kappa_z & 0 & -\sqrt{2}P_1\kappa_+ \end{pmatrix}, \quad (8)$$

где $\kappa_{\pm} = \kappa_x \pm i\kappa_y$. Для матрицы H_{cc}^{+-} мы используем базисные „бра“- и „кет“-состояния в следующем порядке: $c6 \dots c1$ и $c12 \dots c7$, а для матрицы H_{vc}^{-+} — состояния „бра“ в порядке от $v1$ до $v4$ и „кет“ от $c6$ до $c1$. Дополнительный вклад от оператора $\mathbf{k} \cdot \delta\boldsymbol{\pi}$ имеет вид

$$\delta H_{cc} = \begin{pmatrix} \alpha_6\kappa_+ & -\alpha_6\kappa_- & (\beta_2 + \alpha_5)\kappa_+ & (-\beta_2 - \alpha_5)\kappa_- & 0 & 2\sqrt{2}\beta_2\kappa_z \\ \alpha_6\kappa_+ & \alpha_6\kappa_- & (-\beta_2 + \alpha_5)\kappa_+ & (-\beta_2 + \alpha_5)\kappa_- & -2\sqrt{2}\beta_2\kappa_z & 0 \\ \sqrt{2}\alpha_6\kappa_- & 2\sqrt{2}\alpha_6\kappa_z & 0 & 0 & (\beta_2 + \alpha_5)\kappa_+ & (\beta_2 - \alpha_5)\kappa_+ \\ 2\sqrt{2}\alpha_6\kappa_z & -\sqrt{2}\alpha_6\kappa_+ & 0 & 0 & (\beta_2 + \alpha_5)\kappa_- & (-\beta_2 + \alpha_5)\kappa_- \\ 0 & \alpha_4\kappa_+ & -2\sqrt{2}\alpha_3\kappa_z & -\sqrt{2}\alpha_3\kappa_+ & \alpha_3\kappa_- & \alpha_3\kappa_- \\ -\alpha_4\kappa_- & 0 & \sqrt{2}\alpha_3\kappa_- & -2\sqrt{2}\alpha_3\kappa_z & \alpha_3\kappa_+ & -\alpha_3\kappa_+ \end{pmatrix},$$

$$\delta H_{vc} = \begin{pmatrix} 2\sqrt{2}\beta_1\kappa_z & 0 & (\beta_1 + \alpha_2)\kappa_- & (-\beta_1 - \alpha_2)\kappa_+ & \alpha_1\kappa_+ & -\alpha_1\kappa_- \\ 0 & -2\sqrt{2}\beta_1\kappa_z & (\beta_1 - \alpha_2)\kappa_- & (\beta_1 - \alpha_2)\kappa_+ & \alpha_1\kappa_+ & \alpha_1\kappa_- \\ (-\beta_1 + \alpha_2)\kappa_+ & (-\beta_1 - \alpha_2)\kappa_+ & 0 & 0 & -\sqrt{2}\alpha_1\kappa_- & -2\sqrt{2}\alpha_1\kappa_z \\ (\beta_1 - \alpha_2)\kappa_- & (-\beta_1 - \alpha_2)\kappa_- & 0 & 0 & -2\sqrt{2}\alpha_1\kappa_z & \sqrt{2}\alpha_1\kappa_+ \end{pmatrix}. \quad (9)$$

Здесь $P_1, P_2 \dots$ и $\alpha_1, \alpha_2 \dots$ — чисто мнимые коэффициенты, а коэффициенты Q_1, Q_2, β_1 и β_2 вещественны. Их значения приведены в табл. 2.

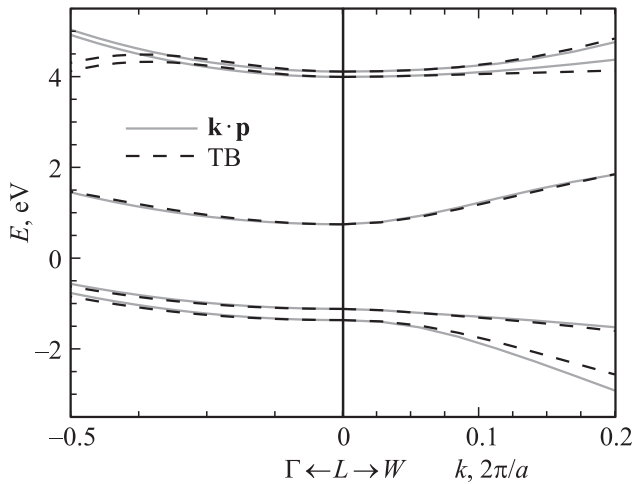
Поясним процедуру построения матриц (7)–(9) на примере матричных элементов между блоховскими функциями $\Psi_{j'} = L_4^-, L_5^-, L_{6(1)}^-, L_{6(2)}^-$ и $\Phi_j = L_4^+, L_5^+, L_{6(1)}^+, L_{6(2)}^+$ соответственно для $j', j = 1, 2, 3, 4$, сформированными из орбитальных базисных функций, преобразующихся по векторным представлениям $L_{3'}$ и L_3 (табл. 1). Выбираем согласно этой таблице конкретный вид базисных функций $|L_{3'}, i'\rangle$ ($i' = 1, 2$) и $|L_3, i\rangle$ ($i = 1, 2$), а затем вычисляем с использованием симметричного анализа матричные элементы операторов $\mathbf{k} \cdot \mathbf{p}$ и $U_\alpha = (\hbar/4m_e c^2) [\nabla V(\mathbf{r}) \times \boldsymbol{\kappa}]_\alpha$ между ними. Обозначим эти матричные элементы в виде $M_{i'i}$ и $U_{\alpha,i'i}$. Далее, состояния $\Psi_{j'}$ и Φ_j записываются в виде линейных комбинаций $\sum_{i's'} C_{j',i's'} \alpha_{s'} |L_{3'}, i'\rangle$ и $\sum_{is} C_{j,is} \alpha_s |L_3, i\rangle$, где

α_s — состояние со спином вверх \uparrow для $s = 1/2$ и со спином вниз \downarrow для $s = -1/2$ (по отношению к оси $[111]$). Тогда матричные элементы между спинорными состояниями даются выражениями

$$\langle \Psi_{j'} | \mathbf{kp} | \Phi_j \rangle = \sum_{i'is} C_{j',i's'}^* M_{i'i} C_{j,is},$$

$$\langle \Psi_{j'} | \mathbf{k} \delta\boldsymbol{\pi} | \Phi_j \rangle = \sum_{i'is's'} C_{j',i's'}^* (U_{i'i} \cdot \boldsymbol{\sigma}_{s's}) C_{j,is}.$$

Для остальных трех L -точек: $(\pi/a)(-1, -1, 1)$, $(\pi/a)(-1, 1, 1)$ и $(\pi/a)(1, -1, 1)$ — базисные функции и гамильтониан аналогичны тем, которые приведены в табл. 1 (см. обсуждение в Приложении), а также в формуле (5), но координатные системы для них различаются.



Электронная дисперсия в нижних зонах проводимости и верхних валентных зонах в направлениях от точки L к центру зоны Бриллюэна Γ и к точке W . Начало отсчета для волнового вектора (нулевая точка на рисунке) взято в точке $(\pi/a)(1, 1, 1)$. Сплошные кривые представляют результаты, полученные $\mathbf{k} \cdot \mathbf{p}$ -методом. Штриховые кривые рассчитаны в $sp^3d^5s^*$ методом сильной связи (ТВ) [28].

Приведенные в табл. 2 значения $\mathbf{k} \cdot \mathbf{p}$ -параметров находились путем подгонки к модели сильной связи $sp^3d^5s^*$ [28]. Из рисунка видно, что три нижние зоны проводимости и две верхние валентные зоны, рассчитанные для этих значений, идеально описывают результаты, полученные методом сильной связи. Следует отметить, что матричный $\mathbf{k} \cdot \mathbf{p}$ -гамильтониан размерности не менее 12×12 необходим для того, чтобы описать структуру нижних зон проводимости и верхних валентных зон без привлечения далеких зон во втором порядке теории возмущений. Такая зонная структура применима также для адекватного описания релаксации электронного спина при электрон-фононном рассеянии.

Таблица 2. Параметры $\mathbf{k} \cdot \mathbf{p}$ -гамильтониана 16×16 вблизи L -точки

Параметр	Значение, eV · nm	Параметр	Значение, eV
Q_1	0.52	E_{45v}^-	-1.119
Q_2	0.26	E_{6v}^-	-1.365
P_1	$0.52i$	E_{6c}^+	0.747
P_2	$0.32i$	$E_{6c'}^+$	3.990
P_3	$0.31i$	E_{45c}^+	4.110
P_4	$0.37i$	E_{45c}^-	8.349
P_5	$-0.35i$	E_{6c}^-	8.354
P_6	$-0.20i$	$E_{6c'}^-$	9.109
β_1	0.03	Δ_1	0.012
β_2	0.01	Δ_2	0.089
α_1	$-0.01i$	Δ_3	0.041
α_2	$0.02i$	Δ_4	0.097
α_3	$0.02i$		
α_4	$0.04i$		
α_5	$0.04i$		
α_6	$0.02i$		

Для нахождения эффективных масс в L -долине используются второй порядок теории возмущений и стандартные формулы для продольной и поперечной эффективных масс [31,42]

$$\frac{m_e}{m_i^+} = 1 + \frac{2m_e}{\hbar^2} \sum_{j \neq i} \frac{|H_{ij}|_{k_x, k_y=0}^2}{(E_i - E_j)k_z^2}, \tag{10a}$$

$$\frac{m_e}{m_i^-} = 1 + \frac{2m_e}{\hbar^2} \sum_{j \neq i} \frac{|H_{ij}|_{k_z, k_x=0}^2}{(E_i - E_j)k_x^2}. \tag{10b}$$

Здесь i, j — собственные состояния матрицы H_0 ; H_{ij} — матричные элементы оператора $H\mathbf{k}\boldsymbol{\pi}$, между этими состояниями. Учитывая отличные от нуля матричные элементы оператора H_0 (4), легко построить собственные состояния нижней зоны проводимости L_6^+ в L -точке

$$\begin{aligned} \varphi_{L_6^+, 1/2} &= \frac{1}{A} [L_{6(1)}^+(L_1) - cL_{6(1)}^+(L_3)] \\ &= \frac{1}{A} [L_1 \uparrow + ic(L_{3x} + iL_{3y}) \downarrow], \\ \varphi_{L_6^+, -1/2} &= \frac{1}{A} [L_{6(2)}^+(L_1) - cL_{6(2)}^+(L_3)] \\ &= \frac{1}{A} [L_1 \downarrow + ic(L_{3x} - iL_{3y}) \uparrow], \end{aligned} \tag{11}$$

в которых спиновые состояния \uparrow и \downarrow частично смешаны. Здесь A — нормировочный коэффициент; c — вещественный коэффициент, пропорциональный константе Δ_2 ; L_1 — орбитальная (нерелятивистская) блоховская функция в нижней зоне проводимости, функции L_{3x} и L_{3y} преобразуются по тому же представлению, что и функции $-zy, zx$ (табл. 1). В настоящей работе функции L_1, L_{3x} и L_{3y} выбраны вещественными. Для нижней зоны проводимости получается значение для продольной эффективной массы $m_l = 1.36 m_e$, заметный вклад в него вносит четвертая зона проводимости L_2' [28].

3. Электрон-фононное рассеяние

Перейдем к рассмотрению электрон-фононного рассеяния в германии, как внутримолекулярного в долинах L и Γ , так и междолинного: между двумя различными L -долинами или при переходах $\Gamma-L$. Изучение этих типов рассеяния необходимо для понимания спиновой динамики оптической ориентации и релаксации горячих электронов [13,16,44,45]. Проанализируем вклады механизмов Яфета [34] и Эллиота [40] в процессы с переворотом спина при таких электрон-фононных переходах. Коэффициенты в матрицах рассеяния, полученных методом инвариантов, находятся с помощью метода псевдопотенциала, который служит также независимой проверкой правил отбора и зависимости вероятности рассеяния от волнового вектора.

Сначала приведем ограничения, накладываемые симметрией к обращению времени на зависимость матрицы

рассеяния от волнового вектора [46]. Как любая матрица 2×2 , спин-зависимая матрица рассеяния из состояния с волновым вектором \mathbf{k} в состояние \mathbf{k}' может быть записана в виде линейной суперпозиции единичной матрицы \hat{I} размерности 2×2 и матриц Паули

$$\hat{M}_{\mathbf{k}',\mathbf{k}} = A_{\mathbf{k}',\mathbf{k}} \hat{I} + \mathbf{B}_{\mathbf{k}',\mathbf{k}} \cdot \boldsymbol{\sigma}. \quad (12)$$

Такое описание предполагает, что спиновое смешивание как в начальном, так и конечном состоянии невелико, как это имеет место, например, для состояний вблизи дна зоны проводимости L_6^+ или Γ_7^- в германии. В этом случае каждому состоянию можно приписывать определенную проекцию спина $\pm 1/2$, а примесь противоположной проекции учитывать при расчете спин-зависимого вклада в (12), пропорционального псевдовектору $\mathbf{B}_{\mathbf{k}',\mathbf{k}}$. В случае междолинного рассеяния нужно проследить, чтобы доминирующие спиновые состояния \uparrow, \downarrow в начальном и конечном состояниях соответствовали одной и той же системе декартовых координат. Из эрмитовости оператора электрон-фононного взаимодействия и его симметрии к обращению времени следуют соотношения

$$A_{\mathbf{k}',\mathbf{k}} = A_{\mathbf{k},\mathbf{k}'}^* = A_{-\mathbf{k},-\mathbf{k}'}, \quad (13a)$$

$$\mathbf{B}_{\mathbf{k}',\mathbf{k}} = \mathbf{B}_{\mathbf{k},\mathbf{k}'}^* = -\mathbf{B}_{-\mathbf{k},-\mathbf{k}'}. \quad (13b)$$

Матрица (12) позволяет найти амплитуду рассеяния с сохранением и переворотом спина при любой ориентации начального спина. Пусть, например, исходный спин ориентирован вдоль единичного вектора $\hat{n} = (\sin \theta \cos \phi, \sin \theta \sin \phi, \cos \theta)$, задаваемого полярными углами θ и ϕ в системе координат x, y, z . Выбирая фазы спинового столбца этого состояния, а также состояние с противоположным направлением спина в виде

$$C_{\uparrow}(\theta, \phi) = \begin{pmatrix} \cos \frac{\theta}{2} e^{-i\phi/2} \\ \sin \frac{\theta}{2} e^{i\phi/2} \end{pmatrix},$$

$$C_{\downarrow}(\theta, \phi) = \begin{pmatrix} -\sin \frac{\theta}{2} e^{-i\phi/2} \\ \cos \frac{\theta}{2} e^{i\phi/2} \end{pmatrix},$$

получаем

$$M_{\mathbf{k}',\mathbf{k};\uparrow,\uparrow} = A_{\mathbf{k}',\mathbf{k}} + B_{\mathbf{k}',\mathbf{k};z} \cos \theta + (B_{\mathbf{k}',\mathbf{k};x} \cos \phi + B_{\mathbf{k}',\mathbf{k};y} \sin \phi) \sin \theta, \quad (14a)$$

$$M_{\mathbf{k}',\mathbf{k};\downarrow,\downarrow} = -B_{\mathbf{k}',\mathbf{k};z} \sin \theta + (B_{\mathbf{k}',\mathbf{k};x} \cos \phi + B_{\mathbf{k}',\mathbf{k};y} \sin \phi) \times \cos \theta + i(-B_{\mathbf{k}',\mathbf{k};x} \sin \phi + B_{\mathbf{k}',\mathbf{k};y} \cos \phi). \quad (14b)$$

Матричные элементы $M_{\mathbf{k}',\mathbf{k};s',s}$ междолинного рассеяния можно представить в виде разложения в ряд Тейлора

$$M_{\mathbf{k}',\mathbf{k};s',s} = D_{s',s}^{(0)} + \mathbf{D}_{s',s}^{(1a)} \cdot \delta \mathbf{q} + \mathbf{D}_{s',s}^{(1b)} \cdot \delta \mathbf{K} + \delta \mathbf{q} \cdot \mathbf{D}_{s',s}^{(2a)} \cdot \delta \mathbf{q} + \delta \mathbf{q} \cdot \mathbf{D}_{s',s}^{(2b)} \cdot \delta \mathbf{K} + \dots \quad (15)$$

по степеням векторов

$$\delta \mathbf{q} = (\mathbf{k}' - \mathbf{k}_f) - (\mathbf{k} - \mathbf{k}_i), \quad \mathbf{K} = (\mathbf{k}' - \mathbf{k}_f) + (\mathbf{k} - \mathbf{k}_i), \quad (16)$$

где $\mathbf{k}_i, \mathbf{k}_f$ — точки экстремума в долинах начального и конечного состояний, $|\delta \mathbf{q}|, |\mathbf{K}|$ считаются малыми по сравнению с $2\pi/a$ [16,33,47]. Для междолинного рассеяния как с сохранением, так и с переворотом спина слагаемые нулевого порядка в (15) не равны нулю. Ограничимся в разложении (15) квадратичными слагаемыми при расчете внутриволинных переходов и линейными слагаемыми для междолинных переходов.

3.1. Метод численного расчета

В следующих подразделах нами используется метод инвариантов для вывода зависимости матриц рассеяния от волнового вектора и спина электрона и от сорта фононов. Для оценки свободных коэффициентов в этих матрицах записываем электрон-фононное взаимодействие, используя эмпирический метод псевдопотенциала, и численно находим матричные элементы рассеяния. Этот метод был успешно использован для расчета времени спиновой релаксации [48], степени циркулярной поляризации люминесценции при не прямых оптических переходах [49] и не прямой оптической инжекции [50] в объемном кремнии и продемонстрировал хорошее согласие с экспериментальными данными. В используемом методе в микроскопическом одночастичном потенциале $V(\mathbf{r}) = \sum_{i\alpha} v(\mathbf{r} - \mathbf{R}_{i\alpha})$ вклад α -го атома в примитивной ячейке i заменяется плавным псевдопотенциалом $\tilde{v}(\mathbf{r}) = v_L(\mathbf{r}) + v_{NL}(\mathbf{r}) + v_{so}(r) \mathbf{l} \cdot \boldsymbol{\sigma}$, который включает локальный потенциал v_L , нелокальный потенциал v_{NL} и спин-орбитальную часть v_{so} ; \mathbf{l} — оператор орбитального момента. Псевдопотенциал выбран так, чтобы получать те же одночастичные энергии, что и в реальном кристаллическом потенциале, с волновыми функциями более гладкими вблизи центра ядер. При выборе псевдопотенциала мы пользовались значениями из [51]. Рассчитанные энергии электрона на дне зоны проводимости в точках Γ и L совпадают с рассчитанными в модели сильной связи $sp^3d^5s^*$ [28]. Сдвигая положение атома $\mathbf{R}_{i\alpha}$ на векторы смещения узлов кристаллической решетки $\mathbf{u}_{i\alpha}$ и разлагая $V(\mathbf{r})$ по степеням $\mathbf{u}_{i\alpha}$, из линейных слагаемых в этом разложении получаем электрон-фононное взаимодействие H_{ep} . Дисперсия и векторы поляризации фононов описывались в модели адиабатического заряда на связи [52]. Рассчитанные энергии фононов, участвующих в различных каналах междолинного рассеяния, составляют соответственно 10.2, 28.6 и 33.3 meV для X_3^- , X_1^- и X_4^- -фононов и 7.4, 25.6, 29.3 и 35.8 meV для L_3^- , $L_2'^-$, L_1^- , и L_3' -фононов.

С помощью метода псевдопотенциала были также определены матричные элементы электрон-фононного взаимодействия в германии для переходов внутри долин Γ и L , между долинами Γ и L и между различными L -долинами, которые подтвердили правила отбора и

вид матриц рассеяния для всех рассмотренных далее случаев. Коэффициенты, входящие в матрицы рассеяния и полученные путем подгонки к результатам микроскопического расчета, приведены в табл. 3–7. Определение этих коэффициентов дано в следующих подразделах. Как и следовало ожидать, значения матричных элементов для процессов с сохранением спина существенно больше, чем для процессов с переворотом спина (более чем в 50 раз).

3.2. Внутридолинное рассеяние

Применим теорию инвариантов для рассмотрения внутридолинного электрон-фононного рассеяния в германии на продольных акустических (LA), поперечных акустических (TA) и оптических (OP) фононах [31,32]. При этом акустические колебания решетки описываются тензором деформации $u_{\alpha\beta} = (\partial u_\alpha / \partial r_\beta + \partial u_\beta / \partial r_\alpha) / 2$, где \mathbf{u} — смещение центра тяжести элементарной ячейки при деформации. В группе O_h шесть линейно независимых компонент тензора деформации преобразуются по представлениям $A_1^+ + E^+ + F_2^+$ (в обозначениях [31]). При анализе симметрии взаимодействия к операции инверсии времени компоненты $u_{\alpha\beta}$ считаются вещественными и инвариантными к этой операции. Оптические колебания в Γ -точке зоны Бриллюэна трехкратно вырождены и преобразуются по представлению $\Gamma_{25'}$ пространственной группы O_h^7 . При построении матричных элементов рассеяния на оптических фононах вместо линейных по $u_{\alpha\beta}$ членов ищутся инварианты, линейные по амплитуде оптических колебаний U_{OP} .

Амплитуды квантованных колебаний решетки учитываются заменой \mathbf{u} или U_{OP} векторами

$$\mathbf{A} = \mathcal{A}\xi, \quad \mathcal{A} = \sqrt{\frac{\hbar}{2\rho V\omega_q}} \left(n_q + \frac{1}{2} \pm \frac{1}{2} \right), \quad (17)$$

где \mathbf{q}, ξ — волновой вектор и единичный вектор поляризации фонона, $\mathbf{q} = \mathbf{k} - \mathbf{k}'$ при испускании фонона и $\mathbf{k}' - \mathbf{k}$ при его поглощении; ρ, V, ω_q и n_q — соответственно плотность и объем кристалла, частота и число заполнения, для краткости записи индекс фононной моды ν опущен.

Заметим, что для германия общий симметричный анализ процессов с переворотом спина уже был проведен, в результате было показано, что основные слагаемые для акустических фононов имеют третий порядок по волновым векторам (с учетом волнового вектора в выражении для $u_{\alpha\beta}$), а слагаемые для оптических фононов — второй порядок [19,33,34].

Наличие операции пространственной инверсии в группах O_h и D_{3d} и четность как тензора деформаций $u_{\alpha\beta}$, так и оптических колебаний $\Gamma_{25'}$ накладывают на коэффициенты в (12) дополнительные условия четности

$$A_{\mathbf{k}',\mathbf{k}} = A_{-\mathbf{k}',-\mathbf{k}}, \quad B_{\mathbf{k}',\mathbf{k}} = B_{-\mathbf{k}',-\mathbf{k}}. \quad (18)$$

Комбинируя эти условия с соотношениями (13), получаем, что коэффициенты $A_{\mathbf{k}',\mathbf{k}}$ вещественны, а коэффициенты $B_{\mathbf{k}',\mathbf{k}}$ чисто мнимые. В разложениях этих

коэффициентов по степеням волновых векторов \mathbf{k}' и \mathbf{k} входят только четные произведения их компонент. При этом разложение $B_{\mathbf{k}',\mathbf{k}}$ начинается с квадратичных членов, которые представляют собой произведения компонент вектора $\mathbf{q} = \pm(\mathbf{k} - \mathbf{k}')$ и вектора $\mathbf{K} = \mathbf{k}' + \mathbf{k}$. Для доказательства последнего утверждения введем операции перестановок $\mathbf{k}', \mathbf{k} \rightarrow \mathbf{k}, \mathbf{k}'$ и $\mathbf{k}', \mathbf{k} \rightarrow -\mathbf{k}, -\mathbf{k}'$, обозначив их символами \mathcal{P}_1 и \mathcal{P}_2 соответственно. При перестановке \mathcal{P}_1 компоненты q_α меняют знак, а компоненты K_β не меняются. Поэтому имеем $\mathcal{P}_1(iq_\alpha K_\beta)^* = -i\mathcal{P}_1(q_\alpha K_\beta) = iq_\alpha K_\beta$ в согласии с (13) и мнимостью $B_{\mathbf{k}',\mathbf{k}}$. При перестановке \mathcal{P}_2 компоненты q_α не меняются, а компоненты K_β меняют знак, и, значит, $\mathcal{P}_2(q_\alpha K_\beta) = -q_\alpha K_\beta$ в согласии с (13). В то же время $\mathcal{P}_1(iq_\alpha q_\beta)^* = -iq_\alpha q_\beta$, $\mathcal{P}_1(iK_\alpha K_\beta)^* = -iK_\alpha K_\beta$ и $\mathcal{P}_2(q_\alpha q_\beta) = q_\alpha q_\beta$, $\mathcal{P}_2(K_\alpha K_\beta) = K_\alpha K_\beta$, что не удовлетворяет свойству (13) для коэффициентов $B_{\mathbf{k}',\mathbf{k}}$.

3.2.1. Рассеяние внутри Γ -долины. При анализе рассеяния вблизи Γ -точки удобно использовать главные кристаллографические оси x_0, y_0, z_0 , в этом подразделе индекс 0 у координат опускается. Поскольку электронные состояния на дне зоны проводимости германия в точке Γ образуют базис спинорного представления Γ_7^- , прямое произведение $\Gamma_7^- \times \Gamma_7^-$ содержит векторные представления A_1^+ и F_2^+ , а матрица \hat{I} и три матрицы σ_α также образуют базисы представлений A_1^+ и F_2^+ , то коэффициенты $A_{\mathbf{k},\mathbf{k}'}$ и $B_{\mathbf{k},\mathbf{k}'}$ в (12) являются инвариантом и псевдовектором в группе O_h . Таким образом, из метода инвариантов следует, что в разложении этих коэффициентов по смещениям решетки и волновым векторам должны содержаться только инвариантные и псевдовекторные комбинации. Кроме того, должны соблюдаться ограничения (13), (18). Опуская промежуточные выкладки, приведем ответ для матричных элементов рассеяния на акустических фононах

$$A_{\mathbf{k}',\mathbf{k}} = \Xi(u_{xx} + u_{yy} + u_{zz}), \quad (19)$$

$$B_{\mathbf{k}',\mathbf{k}} = i \sum_{j=1}^6 R_j S_{\mathbf{k}',\mathbf{k}}^{(j)}, \quad (20)$$

где константа деформационного потенциала Ξ и коэффициенты R_j вещественны, а шесть псевдовекторов $S_{\mathbf{k}',\mathbf{k}}^{(j)}$ имеют вид

$$\begin{aligned} S_z^{(1)} &= (\mathbf{K} \times \mathbf{q})_z (u_{xx} + u_{yy} + u_{zz}), \\ S_z^{(2)} &= (\mathbf{K} \times \mathbf{q})_x u_{zx} + (\mathbf{K} \times \mathbf{q})_y u_{yz}, \\ S_z^{(3)} &= (\mathbf{K} \times \mathbf{q})_z u_{zz}, \\ S_z^{(4)} &= (K_x q_y + K_y q_x)(u_{xx} - u_{yy}), \\ S_z^{(5)} &= (K_y q_z + K_z q_y)u_{zx} - (K_z q_x + K_x q_z)u_{yz}, \\ S_z^{(6)} &= (K_x q_x - K_y q_y)u_{xy}. \end{aligned} \quad (21)$$

Компоненты тензора деформации, отвечающие акустическому фонону $\nu = LA, TA1, TA2$, связаны

Таблица 3. Коэффициенты R_j ($j = 1 \dots 6$), входящие в формулу (20) и описывающие спин-зависимую часть матрицы рассеяния внутри долины Γ

R_j	Значение	
	eV · nm ²	eV · nm
R_1	-0.61	4.35
R_2	0.55	
R_3	0.60	
R_4	-0.83	0.0055
R_5	-1.19	
R_6	2.00	

Примечание. В первом столбце перечислены коэффициенты, во втором приведены их значения для рассеяния на акустических фононах, в третьем — аналогичные значения для рассеяния на оптических фононах.

с векторной амплитудой (17) соотношением $u_{\alpha\beta} = i\mathcal{A}(q_\alpha\xi_{\nu,\beta} + q_\beta\xi_{\nu,\alpha})$. Поскольку параметр $\Delta C = c_{12} + 2c_{44} - c_{12}$ в кристаллах Ge невелик [53], можно пренебречь анизотропией упругих волн и зависимостью скорости продольного или поперечного звука от ориентации волнового вектора \mathbf{q} . В этом случае векторы поляризации ξ принимают вид $\xi_{\text{LA}}(\mathbf{q}) = \mathbf{q}/q$, $\xi_{\text{TA1}}(\mathbf{q}) = (q_y, -q_x, 0)/\sqrt{q_x^2 + q_y^2}$, $\xi_{\text{TA2}}(\mathbf{q}) = (q_x q_z, q_y q_z, -q_x^2 - q_y^2)/\sqrt{q_x^2 + q_y^2}$, где $q \equiv |\mathbf{q}| = \sqrt{q_x^2 + q_y^2 + q_z^2}$. Матрица рассеяния на оптических фононах получается из (19)–(21) подстановкой $u_{xx} = u_{yy} = u_{zz} = 0$, заменой компонент u_{yz}, u_{zx}, u_{xy} соответственно на компоненты $U_{\text{OP},x}, U_{\text{OP},y}$ и $U_{\text{OP},z}$ вектора относительного колебания подрешеток и переобозначением констант.

Численный расчет при использовании метода псевдопотенциала дает для константы деформационного потенциала Ξ значение 8.42 eV, а значения коэффициентов R_j для акустических и оптических фононов указаны в табл. 3.

3.2.2. Рассеяние внутри L -долины. В отличие от упрощенного описания спин-зависимого рассеяния на фононах [16,19], представим полное выражение для зависимости матрицы рассеяния внутри L -долины от волновых векторов \mathbf{k}' и \mathbf{k} . Для рассеяния внутри долины L матрица рассеяния $M_{\mathbf{k}',\mathbf{k}}$ должна быть инвариантна относительно точечной группы D_{3d} [3,30]. Мы рассматриваем точку $(\pi/a)(1, 1, 1)$ и выбираем систему координат, ориентированную относительно [111]. В этом случае коэффициенты $A_{\mathbf{k}',\mathbf{k}}$, $B_{\mathbf{k}',\mathbf{k};z}$ и пара коэффициентов $(B_{\mathbf{k}',\mathbf{k};x}, B_{\mathbf{k}',\mathbf{k};y}) \equiv \mathbf{B}_{\mathbf{k}',\mathbf{k};\perp}$ преобразуются по неприводимым представлениям A_1^+, A_2^+ и E^+ соответственно; сумма $u_{xx} + u_{yy}$, компонента u_{zz} или $U_z \propto \xi_{\text{OP},z}$ являются инвариантами группы D_{3d} , а пары (u_{xz}, u_{yz}) , $(-2u_{xy}, u_{xx} - u_{yy})$, $(\xi_{\text{OP},x}, \xi_{\text{OP},y})$ образуют базисы представления E^+ . В связи с понижением симметрии матрица рассеяния в окрестности L -точки имеет более сложный вид

$$A_{\mathbf{k}',\mathbf{k}} = \Xi_{\perp}(u_{xx} + u_{yy}) + \Xi_{\parallel}u_{zz}, \quad (22)$$

$$B_{\mathbf{k}',\mathbf{k};z} = i \sum_{j=1}^8 C_j S_{\mathbf{k}',\mathbf{k};z}^{(j)}, \quad \mathbf{B}_{\mathbf{k}',\mathbf{k};\perp} = i \sum_{j=1}^{18} R_j \mathbf{S}_{\mathbf{k}',\mathbf{k};\perp}^{(j)}, \quad (23)$$

коэффициент $A_{\mathbf{k}',\mathbf{k}}$ в нулевом приближении характеризуется двумя константами деформационного потенциала Ξ_{\perp} и Ξ_{\parallel} , а коэффициенты $B_{\mathbf{k}',\mathbf{k};z}$ и $\mathbf{B}_{\mathbf{k}',\mathbf{k};\perp}$ — восемью и восемнадцать константами. Приведем выражения для соответствующих билинейных комбинаций $S_z^{(j)}$ и $\mathbf{S}_{\perp}^{(j)}$

$$S_z^{(1)} = (u_{xx} + u_{yy})(\mathbf{K} \times \mathbf{q})_z, \quad S_z^{(2)} = u_{zz}(\mathbf{K} \times \mathbf{q})_z,$$

$$S_z^{(3)} = 2u_{xy}(q_x K_x - q_y K_y) - (u_{xx} - u_{yy})(q_x K_y + q_y K_x),$$

$$S_z^{(4)} = q_z[(u_{xx} - u_{yy})K_x - 2u_{xy}K_y],$$

$$S_z^{(5)} = K_z[(u_{xx} - u_{yy})q_x - 2u_{xy}q_y],$$

$$S_z^{(6)} = u_{yz}(K_x q_y + K_y q_x) - u_{xz}(K_x q_x - K_y q_y),$$

$$S_z^{(7)} = q_z(u_{xz}K_y - u_{yz}K_x), \quad S_z^{(8)} = K_z(u_{xz}q_y - u_{yz}q_x), \quad (24)$$

$$\mathbf{S}_{\perp}^{(1)} = (u_{xx} + u_{yy})q_z(-K_y, K_x), \quad \mathbf{S}_{\perp}^{(2)} = u_{zz}q_z(-K_y, K_x),$$

$$\mathbf{S}_{\perp}^{(3)} = (u_{xx} + u_{yy})K_z(-q_y, q_x), \quad \mathbf{S}_{\perp}^{(4)} = u_{zz}K_z(-q_y, q_x),$$

$$\mathbf{S}_{\perp}^{(5)} = (u_{xx} + u_{yy})(q_x K_x - q_y K_y, -q_y K_x - q_x K_y),$$

$$S_{\perp}^{(6)} = u_{zz}(q_x K_x - q_y K_y, -q_y K_x - q_x K_y),$$

$$\mathbf{S}_{\perp}^{(7)} = q_z K_z(u_{xx} - u_{yy}, -2u_{xy}),$$

$$\mathbf{S}_{\perp}^{(8)} = (q_x K_x + q_y K_y)(u_{xx} - u_{yy}, -2u_{xy}),$$

$$\mathbf{S}_{\perp}^{(9)} = q_z K_z(-u_{yz}, u_{xz}),$$

$$S_{\perp}^{(10)} = (q_x K_x + q_y K_y)(-u_{yz}, u_{xz}),$$

$$\mathbf{S}_{\perp}^{(11)} = [(u_{xx} - u_{yy})(q_x K_x - q_y K_y) - 2u_{xy}(q_x K_y + q_y K_x), \\ (u_{xx} - u_{yy})(q_x K_y + q_y K_x) + 2u_{xy}(q_x K_x - q_y K_y)],$$

$$\mathbf{S}_{\perp}^{(12)} = [u_{xz}(q_x K_y + q_y K_x) - u_{yz}(q_x K_x - q_y K_y), \\ -u_{xz}(q_x K_x - q_y K_y) - u_{yz}(q_x K_y + q_y K_x)],$$

$$\mathbf{S}_{\perp}^{(13)} = K_z[(u_{xx} - u_{yy})q_y - 2u_{xy}q_x, (u_{xx} - u_{yy})q_x + 2u_{xy}q_y],$$

$$\mathbf{S}_{\perp}^{(14)} = q_z[(u_{xx} - u_{yy})K_y - 2u_{xy}K_x, (u_{xx} - u_{yy})K_x + 2u_{xy}K_y],$$

$$\mathbf{S}_{\perp}^{(15)} = K_z(u_{yz}q_y - u_{xz}q_x, u_{yz}q_x + u_{xz}q_y),$$

$$\mathbf{S}_{\perp}^{(16)} = q_z(u_{yz}K_y - u_{xz}K_x, u_{yz}K_x + u_{xz}K_y),$$

$$S_{\perp}^{(17)} = (\mathbf{K} \times \mathbf{q})_z(2u_{xy}, u_{xx} - u_{yy}),$$

$$\mathbf{S}_{\perp}^{(18)} = (\mathbf{K} \times \mathbf{q})_z(u_{xz}, u_{yz}). \quad (25)$$

Численный расчет с помощью метода псевдопотенциала дает значения $\Xi_{\perp} = -8.6$ eV и $\Xi_{\parallel} = 5.8$ eV для констант

Таблица 4. Коэффициенты C_j ($j = 1 \dots 8$), входящие в формулу (23) и описывающие спин-зависимую часть $B_{\mathbf{k}',\mathbf{k};z}\sigma_z$ матрицы рассеяния внутри L -долины

G_j	Значение	
	$\text{eV} \cdot \text{nm}^2$	$\text{eV} \cdot \text{nm}$
C_1	$-5.6 \cdot 10^{-2}$	
C_2	$-4.8 \cdot 10^{-2}$	$1.45 \cdot 10^{-1}$
C_3	$1.2 \cdot 10^{-1}$	
C_4	$6.0 \cdot 10^{-3}$	
C_5	$8.6 \cdot 10^{-3}$	
C_6	$-2.0 \cdot 10^{-2}$	$6.0 \cdot 10^{-2}$
C_7	$-6.0 \cdot 10^{-4}$	$-8.0 \cdot 10^{-3}$
C_8	$-2.6 \cdot 10^{-3}$	$1.62 \cdot 10^{-2}$

Примечание. В первом столбце перечислены коэффициенты, во втором приведены их значения для рассеяния на акустических фононах, в третьем — аналогичные значения для рассеяния на оптических фононах.

деформационного потенциала, значения коэффициентов C_j и R_j приведены в табл. 4 и 5. Коэффициенты $A_{\mathbf{k}',\mathbf{k}}$, $B_{\mathbf{k}',\mathbf{k};z}$, $\mathbf{B}_{\mathbf{k}',\mathbf{k};\perp}$ матрицы рассеяния на оптических фононах получаются формальной заменой $u_{xx} + u_{yy}$ на $\xi_{\text{OP},z}$ и (u_{xz}, u_{yz}) на $\xi_{\text{OP},x}$, $\xi_{\text{OP},y}$, так что остаются один вклад в $A_{\mathbf{k}',\mathbf{k}}$, четыре вклада в $B_{\mathbf{k}',\mathbf{k};z}$ и семь вкладов в $\mathbf{B}_{\mathbf{k}',\mathbf{k};\perp}$. Метод псевдопотенциала дает для константы спин-независимого взаимодействия с оптическими фононами значение 43.8 eV/nm . Значения коэффициентов, определяющих спин-зависимое рассеяние на оптических фононах, приведены в третьем столбце табл. 4, а также в третьем и шестом столбцах табл. 5. По порядку величины коэффициенты согласуются с результатами, полученными ранее в работах [16,19].

3.3. Междолинное рассеяние

3.3.1. Рассеяние между долинами Γ и L . Переходы между точками Γ и L в германии осуществляются L -фононами, которые преобразуются по базисным функциям неприводимых представлений L_1 , $L_{2'}$, L_3 и $L_{3'}$ [3]. Для Γ - L рассеяния некоторые матричные элементы с сохранением и переворотом спина отличны от нуля уже в нулевом порядке по разностным волновым векторам

$$\delta\mathbf{q} = \mathbf{k}' - \mathbf{k}_\Gamma - (\mathbf{k} - \mathbf{k}_L), \quad \mathbf{K} = \mathbf{k}' - \mathbf{k}_\Gamma + \mathbf{k} - \mathbf{k}_L,$$

где введены точки экстремумов $\mathbf{k}_\Gamma = (\pi/a)(0, 0, 0)$ и $\mathbf{k}_L = (\pi/a)(1, 1, 1)$. В первой части подраздела проанализированы вклады нулевого порядка с помощью техники подгруппы [35,36]. Затем для каждой фононной ветви использован метод инвариантов для нахождения вкладов первого порядка с учетом инвариантности электрон-фононного взаимодействия к операциям точечной группы D_{3d} . Для определенности рассматриваются переходы $L_6^+ \rightarrow \Gamma_7^-$, матричные элементы обратных переходов получают эрмитовым сопряжением.

Нижняя зона проводимости в Γ -точке образована базисными функциями неприводимого представления Γ_7^- [3],

$$\Gamma_{7(1)}^- = \Gamma_{2'} \uparrow, \quad \Gamma_{7(2)}^- = \Gamma_{2'} \downarrow, \quad (26)$$

где $\Gamma_{2'}$ — орбитальная блоховская функция указанной симметрии. В четырнадцати- и шестнадцатизонных моделях зонной структуры германия спинорное представление Γ_7^- встречается только один раз, поэтому в отличие от функций (11) в точке L в функциях (26) отсутствует спин-орбитальное смешивание. Из разложения прямого произведения $L_6^+ \times \Gamma_7^- = L_{1'} + L_{2'} + L_{3'}$ и типа фононов в L -точке следует, что в нулевом порядке переходы разрешены только для $L_{2'}$ - и $L_{3'}$ -фононов. Применяя к матричным элементам рассеяния $L_6^+ \rightarrow \Gamma_7^-$ операцию симметрии $\{C_{2x}|\boldsymbol{\tau}\}$ (поворот на 180° вокруг оси $[1\bar{1}0]$ и нетривиальная трансляция на вектор $\boldsymbol{\tau} = (a/4)(1, 1, 1)$), получаем дополнительные условия симметрии, накладываемые на отличные от нуля матричные элементы,

$$\langle \Gamma_{7(1)}^- | V_{L_{2'}} | L_{6(1)}^+ \rangle = \langle \Gamma_{7(2)}^- | V_{L_{2'}} | L_{6(2)}^+ \rangle, \quad (27)$$

$$\langle \Gamma_{7(1)}^- | V_{L_{3'(1)}} | L_{6(2)}^+ \rangle = -\langle \Gamma_{7(2)}^- | V_{L_{3'(2)}} | L_{6(1)}^+ \rangle. \quad (28)$$

Здесь $V_{L_{2'}}$, $V_{L_{3'(1)}}$, $V_{L_{3'(2)}}$ — операторы взаимодействия с L -фононами, индексы 1 и 2 различают фононные моды ветви $L_{3'}$, преобразующиеся как функции $x + iy$ и $x - iy$ соответственно (см. обозначения $L_{3'(1)}$, $L_{3'(2)}$ в табл.1). Введем амплитуды колебаний фононов $U_{L_{2'}}$, $U_{L_{3',x}}$, $U_{L_{3',y}}$. Тогда матрицу Γ - L рассеяния можно представить в виде

$$\|M_{\Gamma,L; s',s}\| = \begin{bmatrix} d_1 U_{L_{2'}} & d_2 (U_{L_{3',x}} - i U_{L_{3',y}}) \\ -d_2 (U_{L_{3',x}} + i U_{L_{3',y}}) & d_1 U_{L_{2'}} \end{bmatrix}. \quad (29)$$

Для матричных элементов рассеяния с сохранением и переворотом спина при ориентации спина по орту \mathbf{n} , задаваемому углами θ , ϕ , получаем

$$|M_{\Gamma,L;\uparrow,\uparrow}|^2 = d_1^2 |U_{L_{2'}}|^2 + d_2^2 |U_{L_{3',x}}|^2 \sin^2 \theta$$

$$|M_{\Gamma,L;\downarrow,\uparrow}|^2 = d_2^2 |U_{L_{3',x}}|^2 (1 + \cos^2 \theta), \quad (30)$$

где черта сверху означает усреднение квадрата фононной амплитуды по равновесному распределению фононов. Значения d_1 и d_2 , найденные путем численного расчета в методе псевдопотенциала, равны 18.21 и 0.35 eV/nm соответственно.

Для построения вкладов в матрицу рассеяния, линейных по $\delta\mathbf{q}$ и \mathbf{K} , мы используем основной прием метода инвариантов. Для переходов из зоны орбитального состояния L_1 в зону, произошедшую из орбитального состояния $\Gamma_{2'}$, матрица $\hat{M}_{\Gamma,L}$ строится из линейных комбинаций произведений а) единичной матрицы \hat{I} размерности 2×2 и спиновых матриц Паули σ_a ; б) амплитуд колебаний решетки U_i в L -точке; в) степеней $\delta\mathbf{q}$, \mathbf{K} так,

Таблица 5. Коэффициенты R_j ($j = 1 \dots 18$) в формуле (23) для $\mathbf{V}_{\mathbf{k}', \mathbf{k}, \perp}$, описывающей спин-зависимую часть матрицы рассеяния внутри L -долины

R_j	Значение		R_j	Значение	
	eV · nm ²	eV · nm		eV · nm ²	eV · nm
R_1	$-3.5 \cdot 10^{-3}$	$6.0 \cdot 10^{-3}$	R_{10}	$1.0 \cdot 10^{-2}$	$-2.8 \cdot 10^{-2}$
R_2	$2.1 \cdot 10^{-3}$		R_{11}	$-6.0 \cdot 10^{-4}$	
R_3	$4.2 \cdot 10^{-3}$	$-2.0 \cdot 10^{-2}$	R_{12}	$-4.9 \cdot 10^{-3}$	$-6.5 \cdot 10^{-2}$
R_4	$0.5 \cdot 10^{-4}$		R_{13}	$3.3 \cdot 10^{-3}$	
R_5	$2.0 \cdot 10^{-3}$	$1.3 \cdot 10^{-2}$	R_{14}	$5.0 \cdot 10^{-3}$	
R_6	$3.5 \cdot 10^{-3}$		R_{15}	$2.0 \cdot 10^{-3}$	$2.5 \cdot 10^{-2}$
R_7	$-1.0 \cdot 10^{-5}$		R_{16}	$8.6 \cdot 10^{-4}$	$-1.8 \cdot 10^{-2}$
R_8	$-1.2 \cdot 10^{-3}$		R_{17}	$-2.5 \cdot 10^{-3}$	
R_9	$-5.9 \cdot 10^{-4}$	$6.9 \cdot 10^{-3}$	R_{18}	$-2.0 \cdot 10^{-3}$	$-7.0 \cdot 10^{-2}$

Примечание. В первом и четвертом столбцах перечислены коэффициенты, во втором и пятом столбцах приведены их значения для рассеяния на акустических фононах, в третьем и шестом — аналогичные значения для рассеяния на оптических фононах.

чтобы эти комбинации преобразовывались по представлению A_2^- группы D_{3d} (поскольку функция $\Gamma_{2'}$ в группе D_{3d} отвечает представлению A_2^-). При этом нужно учесть, что матрица \hat{I} образует базис представления A_1^+ ; матрицы σ_x, σ_y преобразуются по представлению E^+ ; матрицы σ_z — по представлению A_2^+ ; δq_z или K_z — по представлению A_2^- ; пара $\delta q_x, \delta q_y$ или K_x, K_y — по представлению E^- , а амплитуды колебаний решетки $U_{L_1}, U_{L_2}, (U_{L_3,x}, U_{L_3,y})$ и $(U_{L_3',x}, U_{L_3',y})$ соответствуют представлениям A_1^+, A_2^-, E^+ и E^- . Пользуясь таким рецептом, мы можем записать матрицу (29) в виде $d_1 U_{L_2} I - id_2 (\sigma \times U_{L_3})_z$. Переходя теперь к линейным по волновому вектору вкладам, для краткости выпишем линейные члены по \mathbf{K} ; аналогичные члены, линейные по $\delta \mathbf{q}$, получаются заменой компонент $K_\alpha \rightarrow \delta q_\alpha$ и переобозначением коэффициентов $T_j \rightarrow T'_j$. Ясно, что коэффициенты разложения отдельно по $\mathbf{k}' - \mathbf{k}_\Gamma$ и $\mathbf{k} - \mathbf{k}_L$ равны соответственно сумме $T'_j + T_j$ и разности $T'_j - T_j$.

Для рассеяния на фононе L_1 имеем

$$\hat{M}_{\Gamma,L}(L_1) = [iT_{A1}K_z + T_{B1}(\sigma \times \mathbf{K}_\perp)_z]U_{L_1}, \quad (31)$$

где матрица \hat{I} опущена. Рассеяние на фононе L_3 описывается четырьмя параметрами

$$\begin{aligned} \hat{M}_{\Gamma,L}(L_3) = & iT_{A2}(U_{L_3} \times \mathbf{K})_z + T_{B2}(K_x U_{L_3x} + K_y U_{L_3y})\sigma_z \\ & + T_{B3}K_z(U_{L_3x}\sigma_x + U_{L_3y}\sigma_y) + T_{B4} \\ & \times [(K_x U_{L_3y} + K_y U_{L_3x})\sigma_x + (K_x U_{L_3x} - K_y U_{L_3y})\sigma_y]. \end{aligned} \quad (32)$$

Здесь коэффициенты T_j вещественны, фазовый множитель i учитывает второе из тождеств (13а). Значения коэффициентов приведены в табл. 6.

Процессы рассеяния, спин-независимые с участием фонона $L_{3'}$ и спин-зависимые с участием фонона $L_{2'}$, разрешаются во втором порядке по $\delta \mathbf{q}, \mathbf{K}$ и здесь не рассматриваются.

3.3.2. Рассеяние между долинами L . Покажем теперь, как используется метод инвариантов для описания рассеяния электронов между двумя долинами L на X -фононах, которые в решетке алмаза преобразуются по проективным представлениям X_3, X_1 и X_4 . При этом будут не только подтверждены правила отбора [16,19] для вкладов нулевого порядка по разностным волновым векторам $\mathbf{k} = \mathbf{k} - \mathbf{k}_L$, но и построены вклады первого порядка в спин-зависимую матрицу рассеяния. Для определенности рассматриваются переходы между долинами L с $\mathbf{k}_L = (\pi/a)(1, 1, 1)$ и L_t с $\mathbf{k}_L = (\pi/a)(1, 1, -1)$. Фактор-группы групп волновых векторов \mathbf{k}_L и \mathbf{k}_t имеют четыре общих элемента $g_1 = \{e|0\}$, $g_2 = \{C_{2x}|\tau\}$, $g_3 = \{i|\tau\}$, $g_4 = \{\sigma|0\}$ (группа C_{2h}), где e — единичный элемент, $\tau = (a/4)(1, 1, 1)$ — вектор нетривиальной трансляции, i — пространственная инверсия, σ — отражение в плоскости $(1\bar{1}0)$. Следуя [54], обозначим неприводимые представления этой группы в виде A_1, A_2, A_3 и A_4 . Удобно ввести систему координат $x_1 \parallel [110], y_1 \parallel [\bar{1}10], z_1 \parallel [001]$, связанную с главными кристаллографическими осями

Таблица 6. Коэффициенты в линейных по разностным волновым векторам вкладах (31), (32) в матрицу электрон-фононного рассеяния между долинами Γ и L (значения коэффициентов приводятся в eV)

Коэффициент	Значение	Коэффициент	Значение
T_{A1}	-20.5	T_{B2}	-0.34
T'_{A1}	30.5	T'_{B2}	0.73
T_{A2}	9.15	T_{B3}	$-38.23 \cdot 10^{-2}$
T'_{A2}	-12.0	T'_{B3}	$37.64 \cdot 10^{-2}$
T_{B1}	-2.06	T_{B4}	$-2.46 \cdot 10^{-2}$
T'_{B1}	1.66	T'_{B4}	$2.15 \cdot 10^{-2}$

Таблица 7. Коэффициенты матрицы электрон-фононного рассеяния для переходов между L -долинами

Параметр	Значение, eV	Параметр	Значение, eV/nm	Параметр	Значение, eV/nm
R_0	6.49	d_0	6.56	d_2^E	-0.10
R_1	$-3.65 \cdot 10^{-2}$	d_{y_1}	0.18	d_2^Y	0.45
R_2	$-1.43 \cdot 10^{-1}$	d_{z_1}	0.66	$d_{y_1}^E$	-0.08
R_3	$4.58 \cdot 10^{-2}$			$d_{y_1}^Y$	0.26
R_4	$-5.17 \cdot 10^{-2}$			$d_{z_1}^E$	0.25
R_5	$8.68 \cdot 10^{-2}$			$d_{z_1}^Y$	0.41

Примечание. В первых двух столбцах приведены параметры R_i , входящие во вклад (39) первого порядка, третий и четвертый столбцы дают коэффициенты вклада нулевого порядка в матрицу рассеяния (38). В пятом и шестом столбцах приведены коэффициенты, входящие в формулы (29) и (35) и описывающие спин-зависимое междолинное рассеяние электрона на фононах по отдельности в механизмах Эллиота (индекс E) и Яфета (индекс Y); суммы этих коэффициентов для обоих механизмов переходят в значение 0.35 eV/nm для Γ - L рассеяния и значения, представленные в четвертом столбце.

соотношениями

$$x_1 = \frac{x_0 + y_0}{\sqrt{2}}, \quad y_1 = \frac{-x_0 + y_0}{\sqrt{2}}, \quad z_1 = z_0. \quad (33)$$

Координаты x_1, z_1 преобразуются по представлению A_3 , координата y_1 — по представлению A_4 , матрицы Паули $\sigma_{x_1}, \sigma_{z_1}$ — по представлению A_2 , матрица σ_{y_1} есть инвариант группы C_{2h} ; для фононных мод имеем разложение

$$\begin{aligned} X_1|_{C_{2h}} &= A_1 + A_3, & X_2|_{C_{2h}} &= A_2 + A_4, \\ X_3|_{C_{2h}} &= A_2 + A_3, & X_4|_{C_{2h}} &= A_1 + A_4. \end{aligned} \quad (34)$$

Блоховские функции в точках \mathbf{k}_L и $\mathbf{k}_{L'}$ связаны поворотом C_{2z} на 180° вокруг оси z_0 , так как $\mathbf{k}_{L'} = -C_{2z}\mathbf{k}_L$ и точки \mathbf{k}_L и $-\mathbf{k}_L$ эквивалентны. Произведение функций $\psi_{L_1}^* \psi_{L_1}$ преобразуется по представлению A_3 . Следовательно, матрица рассеяния $\hat{M}_{L'L}(\mathbf{k}', \mathbf{k})$, составленная из произведений матриц 2×2 , амплитуд колебаний решетки U_j и разностных волновых векторов \mathbf{k}', \mathbf{k} , должна преобразовываться по представлению A_3 . Разложим эту матрицу по матрицам Паули (см. (13))

$$\hat{M}_{L'L}(\mathbf{k}', \mathbf{k}) = A(\mathbf{k}', \mathbf{k}) + \sigma \cdot \mathbf{B}(\mathbf{k}', \mathbf{k}). \quad (35)$$

Коэффициенты A и B_{y_1} должны преобразовываться по представлению A_3 , а коэффициенты B_{x_1} и B_{z_1} — по представлению A_4 . Дополнительные ограничения на матричные элементы накладывают симметрия кристалла к преобразованию C_{2z} и инверсии времени. Опуская детали, приведем эти условия для коэффициентов в (35) при рассеянии на фононе ν

$$\begin{aligned} A(\mathbf{k}', \mathbf{k}; \nu) &= \eta_\nu A(-C_{2z}\mathbf{k}, -C_{2z}\mathbf{k}'; \nu), \\ B_{z_1}(\mathbf{k}', \mathbf{k}; \nu) &= -\eta_\nu B_{z_1}(-C_{2z}\mathbf{k}, -C_{2z}\mathbf{k}'; \nu), \\ B_\alpha(\mathbf{k}', \mathbf{k}; \nu) &= \eta_\nu B_\alpha(-C_{2z}\mathbf{k}, -C_{2z}\mathbf{k}'; \nu), \quad \alpha = x_1, y_1, \end{aligned} \quad (36)$$

$$A(\mathbf{k}', \mathbf{k}; \nu)^* = A(-\mathbf{k}', -\mathbf{k}; \nu),$$

$$B_\alpha(\mathbf{k}', \mathbf{k}; \nu)^* = -B_\alpha(-\mathbf{k}', -\mathbf{k}; \nu), \quad \alpha = x_1, y_1, z_1, \quad (37)$$

где η_ν — четность фононной моды по отношению к преобразованию C_{2z} . Учтем далее, что для X_1 -, X_2 -фононов

$\eta = 1$, а для X_3 -, X_4 -фононов $\eta = -1$. Поскольку фононы X_2 в германии отсутствуют, в дальнейшем они нами обсуждаться не будут.

Начнем анализ с нулевого приближения, полагая $\mathbf{k}', \mathbf{k} = 0$. Из (36) получаем, что спин-независимое L_t - L рассеяние, описываемое коэффициентом A , разрешено для фонона X_1 , коэффициент B_{y_1} также отличен от нуля только для фонона X_1 , коэффициент B_{z_1} отличен от нуля для фонона X_4 , а коэффициент $B_{x_1} = 0$ в этом приближении. Таким образом, матрица (35) при $\mathbf{k}', \mathbf{k} = 0$ имеет вид

$$\hat{M}_{L'L}(0, 0) = d_0 U_{A_3(X_1)} + i(d_{y_1} U_{A_3(X_1)} \sigma_{y_1} + d_{z_1} U_{A_4(X_4)} \sigma_{z_1}), \quad (38)$$

где $U_{A_i(X_j)}$ — амплитуда колебаний X_j -фонона поляризации A_i . Используя формулы (33), легко переписать это выражение в системе координат x_0, y_0, z_0 .

Аналогично находится линейный вклад в матрицу рассеяния. Этот вклад для рассеяния на X_3 -фононе может быть существенным при низких температурах из-за относительно небольшой энергии таких фононов [19]. Опуская промежуточные выкладки, приведем окончательный результат, записанный в главных кристаллографических осях (индекс 0 для краткости опустим),

$$\begin{aligned} A(X_3) &= iR_0(\delta q_x - \delta q_y)U_{A_2(X_3)}, \\ B_z(X_3) &= [R_1(K_x + K_y) + R_2\delta q_z]U_{A_2(X_3)}, \\ B_x(X_3) &= [R_3(\delta q_x + \delta q_y) + R_4(\delta q_x - \delta q_y) + R_5K_z]U_{A_2(X_3)}, \\ B_y(X_3) &= [R_3(\delta q_x + \delta q_y) - R_4(\delta q_x - \delta q_y) + R_5K_z]U_{A_2(X_3)}. \end{aligned} \quad (39)$$

Значения фигурирующих здесь коэффициентов приведены в табл. 7. Видно, что, как и для других механизмов рассеяния, процессы с сохранением спина идут намного интенсивнее процессов с переворотом спина.

3.4. Механизмы Эллиота и Яфета

В этом подразделе анализируются механизмы Эллиота [40] и Яфета [34] для электрон-фононного рассеяния с

переворотом спина. В общем случае оператор электрон-фононного взаимодействия имеет вид [33,34,40]

$$H_{\text{ep}} = V^E + V^Y \\ = \sum_{\mathbf{q}, \nu} \mathbf{u}_{\mathbf{q}, \nu} \cdot \nabla \left[V_0(\mathbf{r}) \hat{I} + \frac{\hbar}{4m_e^2 c^2} (\nabla V_0(\mathbf{r}) \times \mathbf{p}) \cdot \boldsymbol{\sigma} \right]. \quad (40)$$

Здесь $\mathbf{u}_{\mathbf{q}, \nu}$ — вектор смещения для фонона ν с волновым вектором \mathbf{q} , другие обозначения определены в разделе 2 (см. (1)). Отдельные вклады в рассеяние с переворотом спина от первого, спин-независимого, оператора V^E и второго, спин-зависимого, оператора V^Y соответствуют механизмам Эллиота и Яфета. Симметричные свойства этих вкладов в матрицу рассеяния неразличимы, но это независимые вклады, и их сравнительный анализ представляет интерес. Для иллюстрации проведем такой анализ для матричных элементов междолинного рассеяния с переворотом спина, рассчитанных в нулевом порядке по разностным волновым векторам.

Для рассеяния между долинами Γ и L матричные элементы для механизмов Эллиота и Яфета могут быть по отдельности представлены в виде

$$M_{\Gamma L; \uparrow \downarrow}^E(L_{3'}) = \frac{c}{A} \left\langle \Gamma_2^- \left| V_{L_{3'(1)}}^E \right| L_{3y} + iL_{3x} \right\rangle, \\ M_{\Gamma L; \uparrow \downarrow}^Y(L_{3'}) = \frac{1}{A} \left[\left\langle \Gamma_2^- \uparrow \left| V_{L_{3'(1)}}^Y \right| L_1 \downarrow \right\rangle \right. \\ \left. + c \left\langle \Gamma_2^- \uparrow \left| V_{L_{3'(1)}}^Y \right| (L_{3y} + iL_{3x}) \uparrow \right\rangle \right]. \quad (41)$$

Очевидно, спин-орбитальное подмешивание состояний L_3 в зоне L_1 в точке L критично для вклада Эллиота.

Для междолинного рассеяния $(\pi/a)(1, 1, 1) \rightarrow (\pi/a)(1, 1, -1)$ базисные функции L_6 выбраны так, чтобы в разложении их по $L_6(L_1)$ и $L_6(L_3)$ функция L_1 была умножена на спиновые столбцы \uparrow_{z_0} или \downarrow_{z_0} , описывающие состояния спина с проекцией $\pm 1/2$ на направление $[001]$ в системе осей x_0, y_0, z_0 . Учитывая, что система координат x, y, z получается из системы x_0, y_0, z_0 тремя поворотами с углами Эйлера $\phi = \pi/4$, $\theta = \arccos(1/\sqrt{3})$, $\psi = 3\pi/2$, получаем выражения для указанных базисных функций

$$L_{6, 1/2} = \uparrow_{z_0} L_1 - \uparrow_{z_0} i c \sin \theta L_{3y} + \downarrow_{z_0} e^{i\phi} c (L_{3x} + i \cos \theta L_{3y}), \\ L_{6, -1/2} = \downarrow_{z_0} L_1 + \downarrow_{z_0} i c \sin \theta L_{3y} - \uparrow_{z_0} e^{-i\phi} c (L_{3x} - i \cos \theta L_{3y}), \quad (42)$$

где $c \approx 0.03$ — коэффициент спин-орбитального смешивания (см. (11)). Аналогичные функции в долине L_t связаны с функциями (42) соотношениями $L_{6s}^t(\mathbf{r}) = e^{\pm i\pi/2} C_{2z} L_{6s}(\mathbf{r})$. Поскольку коэффициент спин-орбитального смешивания c в (11) мал, будем учитывать его в наименьшем неисчезающем приближении, при

этом нормировочный множитель A^{-1} можно положить равным единице. Для спин-независимого рассеяния и для механизма Эллиота получаем

$$d_0 U_{A_3(X_1)} = \langle L_1^t | V_{A_3(X_1)}^E | L_1 \rangle, \\ d_{y_1}^E U_{A_3(X_1)} = -\frac{2}{\sqrt{3}} c \langle L_1^t | V_{A_3(X_1)}^E | L_{3x} \rangle, \\ d_{z_1}^E U_{A_4(X_4)} = -\frac{2\sqrt{2}}{\sqrt{3}} c \langle L_1^t | V_{A_4(X_4)}^E | L_{3y} \rangle. \quad (43)$$

Для нахождения вклада Яфета нужно рассчитать матричный элемент от второго слагаемого в (40). Приведем окончательные формулы

$$id_{y_1}^Y U_{A_3(X_1)} = \frac{\hbar}{4m_e^2 c^2} \left\langle L_1^t \left| \frac{\partial}{\partial z_1} (\nabla V_0 \times \hat{\mathbf{p}})_{y_1} \right| L_1 \right\rangle \\ \times u_{\mathbf{q}, z_1} [A_3(X_1)], \\ id_{z_1}^Y U_{A_4(X_4)} = \frac{\hbar}{4m_e^2 c^2} \left\langle L_1^t \left| \frac{\partial}{\partial y_1} (\nabla V_0 \times \hat{\mathbf{p}})_{z_1} \right| L_1 \right\rangle \\ \times u_{\mathbf{q}, y_1} [A_4(X_4)]. \quad (44)$$

Результаты расчета методом псевдопотенциала приведены в шестом столбце табл. 7. Видно, что вклады от процессов Эллиота и Яфета имеют один и тот же порядок, хотя и могут различаться в несколько раз.

4. Заключение

Таким образом, в настоящей работе впервые построены для германия релятивистский шестнадцатизонный $\mathbf{k} \cdot \mathbf{p}$ -гамильтониан для описания дисперсии и спиновых свойств электронов в трех нижних зонах проводимости и двух верхних валентных зонах в долине L . Изучено внутри- и междолинное рассеяние электронов на фононах для долин L и Γ . С помощью метода инвариантов получены правила отбора и аналитические выражения для матриц рассеяния внутри долин L и Γ , а также $\Gamma-L$ и $L-L$ рассеяния. Микроскопический расчет матриц рассеяния в рамках метода псевдопотенциала позволил найти коэффициенты в выражениях для этих матриц и подтвердить правила отбора и зависимость их от волнового вектора. Парциальные вклады механизмов Эллиота и Яфета в спин-зависимое рассеяние сопоставимы по порядку величины, хотя и могут в отдельных случаях заметно различаться.

Приложение. Базисные функции в $\mathbf{k} \cdot \mathbf{p}$ -методе

В табл. 1 перечислены все 16 блоховских состояний (первый столбец), использованных нами при построении $\mathbf{k} \cdot \mathbf{p}$ -гамильтониана в точке L . Состояния обозначаются в виде $|v, j\rangle$ ($j = 1, 2, 3, 4$) или $|c, j\rangle$ ($j = 1 \dots 12$) соответственно в валентной зоне (v) и зоне проводи-

мости (c). Одновременно для каждого состояния в том же столбце указывается соответствующее ему неприводимое спинорное представление с дополнительным индексом 1, 2 (в скобках после индекса 6) для двумерных представлений L_6^+ или L_6^- , а также векторное представление, из которого оно произошло. Например, символ $L_{6(2)}^-(L_{3'}^v)$ означает вторую базисную функцию представления L_6^- , которое происходит из представления $L_{3'}$ в валентной зоне.

Чтобы однозначно определить матрицы преобразований для представленных блоховских функций, во втором столбце таблицы приводим простейшие примеры базисных функций, преобразующихся по неприводимым представлениям двойной группы D_{3d} . При построении этих базисных функций мы фиксировали одну из плоскостей отражения σ_v так, чтобы она содержала оси y и z . Вертикальные стрелки \uparrow, \downarrow обозначают состояния со спином вверх и вниз относительно направления орта \hat{z} . Для каждого из представлений L_4^+, L_5^+, L_6^+ даются два различных примера базисных функций, чтобы функции одного набора зависели от z , а функции другого набора от z не зависели. Это облегчает нахождение всех линейно независимых междузонных матричных элементов оператора импульса. Обозначения диагональных энергий $H_{0,jj}$ показаны в третьем столбце. Поскольку состояния L_4^+ и L_5^+ (или L_4^- и L_5^-) связаны между собой операцией инверсии времени и их энергии совпадают, энергия таких состояний содержит двойной индекс 45. Индексами c и c' отмечаются энергии состояний в зоне проводимости, произошедших из разных векторных представлений, но совпадающих по симметрии: L_6^+ или L_6^- .

Список литературы

- [1] I. Žutić, J. Fabian, S. Das Sarma. Rev. Mod. Phys. **76**, 323 (2004).
- [1] M.W. Wu, J.H. Jiang, M.Q. Weng. Phys. Rep. **493**, 61 (2010).
- [3] P.Y. Yu, M. Cardona. Fundamentals of semiconductors: physics and materials properties. 3rd ed. Springer, N.Y. (2001).
- [4] D. Culcer, L. Cywiński, Q. Li, X. Hu, S. Das Sarma. Phys. Rev. B **80**, 205 302 (2009).
- [5] N.W. Gray, A. Tiwari. Appl. Phys. Lett. **98**, 102 112 (2011).
- [6] K.R. Jeon, B.C. Min, I.J. Shin, C.Y. Park, H.S. Lee, Y.H. Jo, S.C. Shin. Appl. Phys. Lett. **98**, 262 102 (2011).
- [7] B.T. Jonker, G. Kioseoglou, A.T. Hanbicki, C.H. Li, P.E. Thompson. Nature Phys. **3**, 542 (2007).
- [8] I. Appelbaum, B. Huang, D. J. Monsma. Nature **447**, 295 (2007).
- [9] L. Grenet, M. Jamet, P. Noé, V. Calvo, J.M. Hartmann, L.E. Nistor, B. Rodmacq, S. Auffret, P. Warin, Y. Samson. Appl. Phys. Lett. **94**, 032 502 (2009).
- [10] S.P. Dash, S. Sharma, R.S. Patel, M.P. de Jong, R. Jansen. Nature **462**, 491 (2009).
- [11] E.J. Loren, B.A. Ruzicka, L.K. Werake, H. Zhao, H.M. van Driel, A.L. Smirl. Appl. Phys. Lett. **95**, 092 107 (2009).
- [12] J. Rioux, J.E. Sipe, Phys. Rev. B **81**, 155 215 (2010).
- [13] E.J. Loren, J. Rioux, C. Lange, J.E. Sipe, H.M. van Driel, A.L. Smirl. Phys. Rev. B **84**, 214 307 (2011).
- [14] P. Li, H. Dery. Phys. Rev. Lett. **107**, 107 203 (2011).
- [15] A. Jain, L. Louahadj, J. Peiro, J.C. Le Breton, C. Vergnaud, A. Barski, C. Beigné, L. Notin, A. Marty, V. Baltz, S. Auffret, E. Augendre, H. Jaffrés, J.M. George, M. Jamet. Appl. Phys. Lett. **99**, 162 102 (2011).
- [16] J.M. Tang, B.T. Collins, M.E. Flatté. Phys. Rev. B **85**, 045 202 (2012).
- [17] F. Pezzoli, F. Bottegioni, D. Trivedi, F. Ciccacci, A. Giorgioni, P. Li, S. Cecchi, E. Grilli, Y. Song, M. Guzzi, H. Dery, G. Isella. Phys. Rev. Lett. **108**, 156 603 (2012).
- [18] A. Jain, C. Vergnaud, J. Peiro, J.C. Le Breton, E. Prestat, L. Louahadj, C. Portemont, C. Ducruet, V. Baltz, A. Marty, A. Barski, P. Bayle-Guillemaud, L. Vila, J.-P. Attané, E. Augendre, H. Jaffrè s, J.-M. George, M. Jamet. Appl. Phys. Lett. **101**, 022 402 (2012).
- [19] P. Li, Y. Song, H. Dery. Phys. Rev. B **86**, 085 202 (2012).
- [20] P. Li, D. Trivedi, H. Dery. Phys. Rev. B **87**, 115 203 (2013).
- [21] Y. Zhou, W. Han, L.T. Chang, F. Xiu, M. Wang, M. Oehme, I.A. Fischer, J. Schulze, R.K. Kawakami, K.L. Wang. Phys. Rev. B **84**, 125 323 (2011).
- [22] C. Tahan, M. Friesen, R. Joynt. Phys. Rev. B **66**, 035 314 (2002).
- [23] M.S. Sherwin, A. Imamoglu, T. Montroy. Phys. Rev. A **60**, 3508 (1999).
- [24] A.R. Calderbank, P. W. Shor. Phys. Rev. A **54**, 1098 (1996).
- [25] C.H. Bennett, D.P. DiVincenzo, J.A. Smolin, W.K. Wootters. Phys. Rev. A **54**, 3824 (1996).
- [26] D.G. Cory, M.D. Price, W. Maas, E. Knill, R. Laflamme, W.H. Zurek, T.F. Havel, S.S. Somaroo, Phys. Rev. Lett. **81**, 2152 (1998).
- [27] A.R. Cameron, P. Riblet, A. Miller, Phys. Rev. Lett. **76**, 4793 (1996).
- [28] J.-M. Jancu, R. Scholz, F. Beltram, F. Bassani. Phys. Rev. B **57**, 6493 (1998).
- [29] Y.H. Kuo, Y.K. Lee, Y. Ge, S. Ren, J.E. Roth, T.I. Kamins, D.A.B. Miller, J.S. Harris. Nature **437**, 1334 (2005).
- [30] M.S. Dresselhaus, G. Dresselhaus, A. Jorio. Group theory: application to the physics of condensed matter. Springer, Berlin (2008).
- [31] Г.Л. Бир, Г.Е. Пикус. Симметрия и деформационные эффекты в полупроводниках. Наука, М. (1972) 584 с.
- [32] L.C.L.Y. Voon, M. Willatzen. The $\mathbf{k} \cdot \mathbf{p}$ -method: electronic properties of semiconductors. Springer, Berlin (2009).
- [33] Y. Song, H. Dery. Phys. Rev. B **86**, 085 201 (2012).
- [34] Y. Yafet. In: Solid state physics / Eds F. Seitz, D. Turnbull. Academic, N.Y. (1963). V. 14. P. 1.
- [35] M. Lax, J.J. Hopfield. Phys. Rev. **124**, 115 (1961).
- [36] M. Lax. Phys. Rev. **138**, A793 (1965).
- [37] Дж. Бирман. Пространственная симметрия и оптические свойства твердых тел. Т. I. Мир, М. (1978). 387 с.
- [38] E. McCann, V.I. Fal'ko. Phys. Rev. Lett. **108**, 166 606 (2012).
- [39] H. Ochoa, A.H.C. Neto, V.I. Fal'ko, F. Guinea. arXiv:1209.4382.
- [40] R.J. Elliott. Phys. Rev. **96**, 266 (1954).
- [41] S. Ridene, K. Boujdaria, H. Bouchriha, G. Fishman. Phys. Rev. B **64**, 085 329 (2001).

- [42] R. Winkler. Spin-orbit coupling effects in two-dimensional electron and hole systems. Springer, Berlin (2003).
- [43] В.Д. Дымников. ФТТ **43**, 1957 (2001).
- [44] J. Rioux, J.E. Sipe. Physica E **45**, 1 (2012).
- [45] P. Zhang, J. Zhou, M.W. Wu. Phys. Rev. B **77**, 235 323 (2008).
- [46] Е.Л. Ивченко, Ю.Б. Лянда-Геллер, Г.Е. Пикус. ЖЭТФ **98**, 989 (1990).
- [47] D.K. Ferry. Phys. Rev. B **14**, 1605 (1976).
- [48] J.L. Cheng, M.W. Wu, J. Fabian. Phys. Rev. Lett. **104**, 016 601 (2010).
- [49] P. Li, H. Dery. Phys. Rev. Lett. **105**, 037 204 (2010).
- [50] J.L. Cheng, J. Rioux, J. Fabian, J.E. Sipe. Phys. Rev. B **83**, 165 211 (2011).
- [51] M.M. Rieger, P. Vogl. Phys. Rev. B **48**, 14 276 (1993).
- [52] W. Weber. Phys. Rev. B **15**, 4789 (1977).
- [53] И.Г. Кулсеев, И.И. Кулсеев. ФТТ **49**, 422 (2007).
- [54] R.J. Elliott, R. Loudon. J. Phys. Chem. Solids **15**, 146 (1960).